

# بررسی تاثیر نرخ کرنش بر رفتار کار گرم آلیاژ منیزیم AZ31

سید محمود فاطمی ورزنه

فارغ التحصیل کارشناسی ارشد مهندسی متالورژی و مواد - دانشکده فنی - دانشگاه تهران

عباس زارعی هنوزکی

دانشیار گروه مهندسی متالورژی و مواد - دانشکده فنی - دانشگاه تهران

امید گل محله

فارغ التحصیل کارشناسی ارشد مهندسی متالورژی و مواد - دانشکده فنی - دانشگاه تهران

(تاریخ دریافت ۱۲/۲/۸۳، تاریخ دریافت روایت اصلاح شده ۱۱/۷/۸۳، تاریخ تصویب ۷/۹/۸۳)

## چکیده

آلیاژ AZ31، از جمله آلیاژهای کارپذیر منیزیم با استحکام متوسط و شکل پذیری بالا است که امروزه کاربرد زیادی در صنایع مختلف پیدا کرده است. برای بهینه کردن فرآیندهای شکل دهنده و خواص نهایی این آلیاژ، بررسی دقیق‌تر مشخصه‌های تغییر شکل گرم آن ضروری می‌باشد. یکی از پارامترهای مستقل تأثیر گذار در فرآیندهای شکل دهنده نرخ اعمال تغییر شکل می‌باشد. با توجه به تأثیر تنفس های فشاری در فرایند های شکل دهنده آلیاژهای منیزیم، که شامل فرایندهای نورد، آهنگری و اکستروژن می‌باشند، در این تحقیق با استفاده از آزمایش فشار گرم اثر نرخ کرنش بر تغییر شکل گرم آن تحت بررسی قرار گرفته است. منحنیهای تنفس - کرنش و تغییرات ریزساختار در نرخ کرنشهای متفاوت مورد بحث قرار گرفته و نتایج حاصله بر اساس اصول تغییر شکل گرم آلیاژهای منیزیم بحث شده است.

## واژه های کلیدی: آلیاژ منیزیم AZ31، نرخ کرنش، تبلور مجدد، دو قلویی، منحنی تنفس-کرنش حقیقی

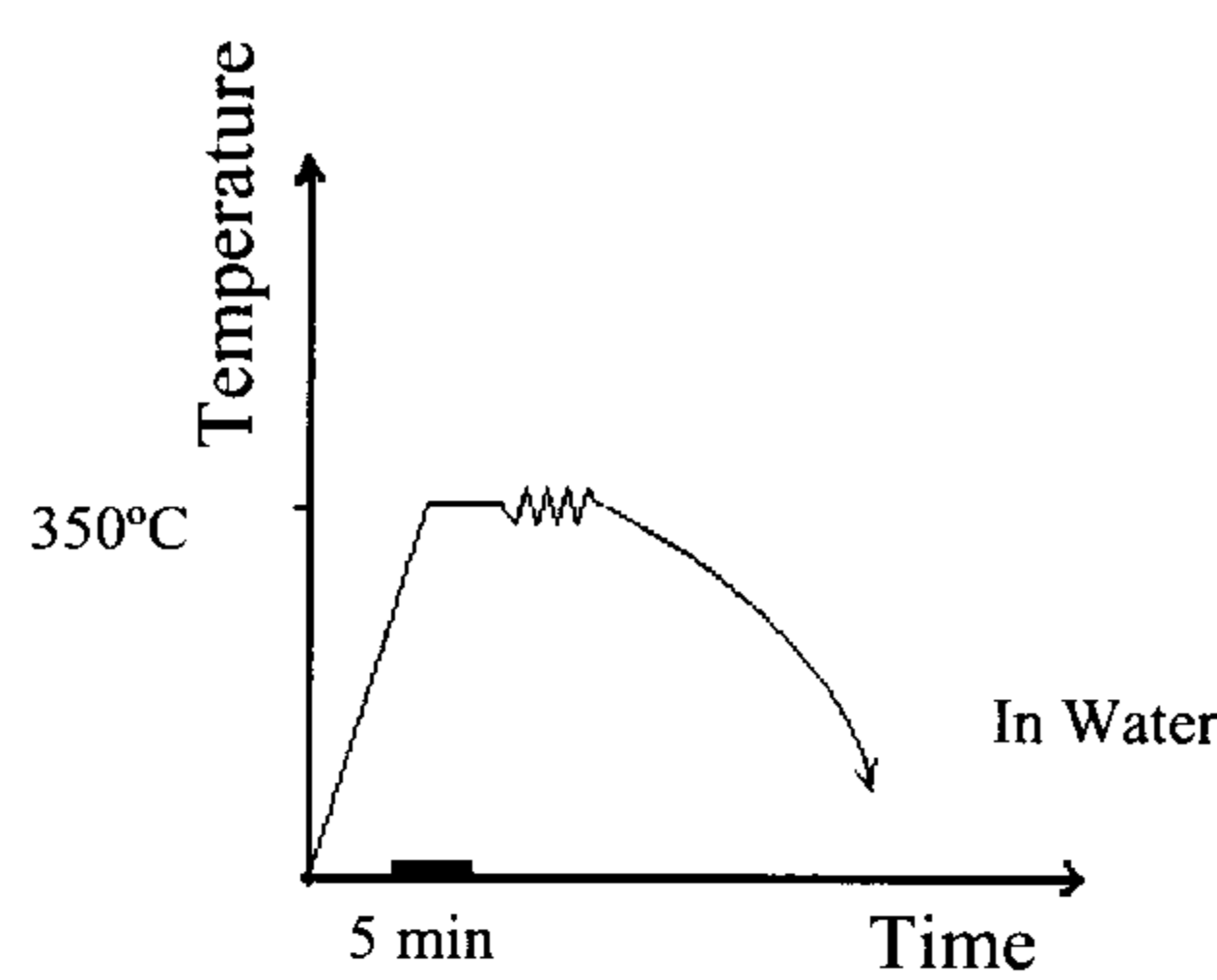
## مقدمه

است. Myshleav و همکارانش [۲] تأثیر نرخ کرنش و دما را بر تحولات زیر ساختاری<sup>۱</sup> این آلیاژ مورد بحث قرار داده اند. نتایج آن تحقیقات نشان میدهد که با افزایش دما و کاهش نرخ کرنش، نقش بازیابی در ترمیم ساختار افزایش می‌یابد و زیر ساختارهای بازیابی شده در داخل نوارهای دوقلویی، در تقاطع دوقلویی ها و در مجاورت مرز دانه های اولیه باعث ایجاد دانه های فرعی می‌شوند. این دانه ها در ادامه تغییر شکل با افزایش اختلاف جهت گیری خود به دانه های اصلی تبدیل می‌شوند. Barnett [۳] نیز در تحقیقات خود با استفاده از روابط بنیادی تغییر شکل، تأثیر نرخ کرنش و دما را بر تنفس سیلان آلیاژ AZ31 مورد بررسی قرار داده است. وی نشان داد که در تنشهای زیر ۹۰ MPa می‌توان نرخ کرنش و تنفس سیلان را با یک رابطه توانی به یکدیگر مرتبط ساخت. از آنجاییکه تغییرات اندک در ترکیب شیمیایی این آلیاژ منجر به تغییر رفتار سیلان گرم آن خواهد شد تحقیقات دقیق‌تر جهت درک بهتر تأثیر پارامترهای مذکور ضروری می‌باشد. در این پژوهش رفتار کار گرم آلیاژ AZ31 مورد بررسی قرار گرفته

در گذشته آلیاژهای منیزیم بصورت محصولات ریختگی مورد استفاده قرار گرفته اند، اما در دهه اخیر، آلیاژهای کارپذیر منیزیم نیز بدليل استحکام و شکل پذیری بالاتر مورد توجه صنایع مختلف بخصوص صنایع خودروسازی واقع شده اند. در این راستا تولید آلیاژ AZ91 که مهمترین آلیاژ ریختگی منیزیم است در سال ۱۹۹۷ از ۸۱ درصد مجموع تولید، به حدود ۷۰ درصد در سال ۲۰۰۲ رسیده است [۱]. این مطلب افزایش تولید آلیاژهای کارپذیر را نشان می‌دهد. جهت ایجاد توجیه اقتصادی در جایگزینی آلیاژهای آلومینیوم یا مس با آلیاژهای کارپذیر منیزیم ضروری است مطالعات ویژه در خصوص بهینه سازی تولید این محصولات صورت پذیرد. بطور کلی در آلیاژهای منیزیم فاکتورهای دما، نرخ کرنش، جهت گیری کریستالی و نوع تغییر شکل می‌توانند بر مشخصه های تغییر شکل گرم آلیاژ تأثیر گذار باشند. آلیاژ AZ31 از جمله آلیاژهای کارپذیر منیزیم می‌باشد که در سالهای اخیر مورد توجه قرار گرفته و تحقیقات گسترده ای در زمینه کار گرم این آلیاژ شروع شده

ریز ساختاری حکاکی شدند.

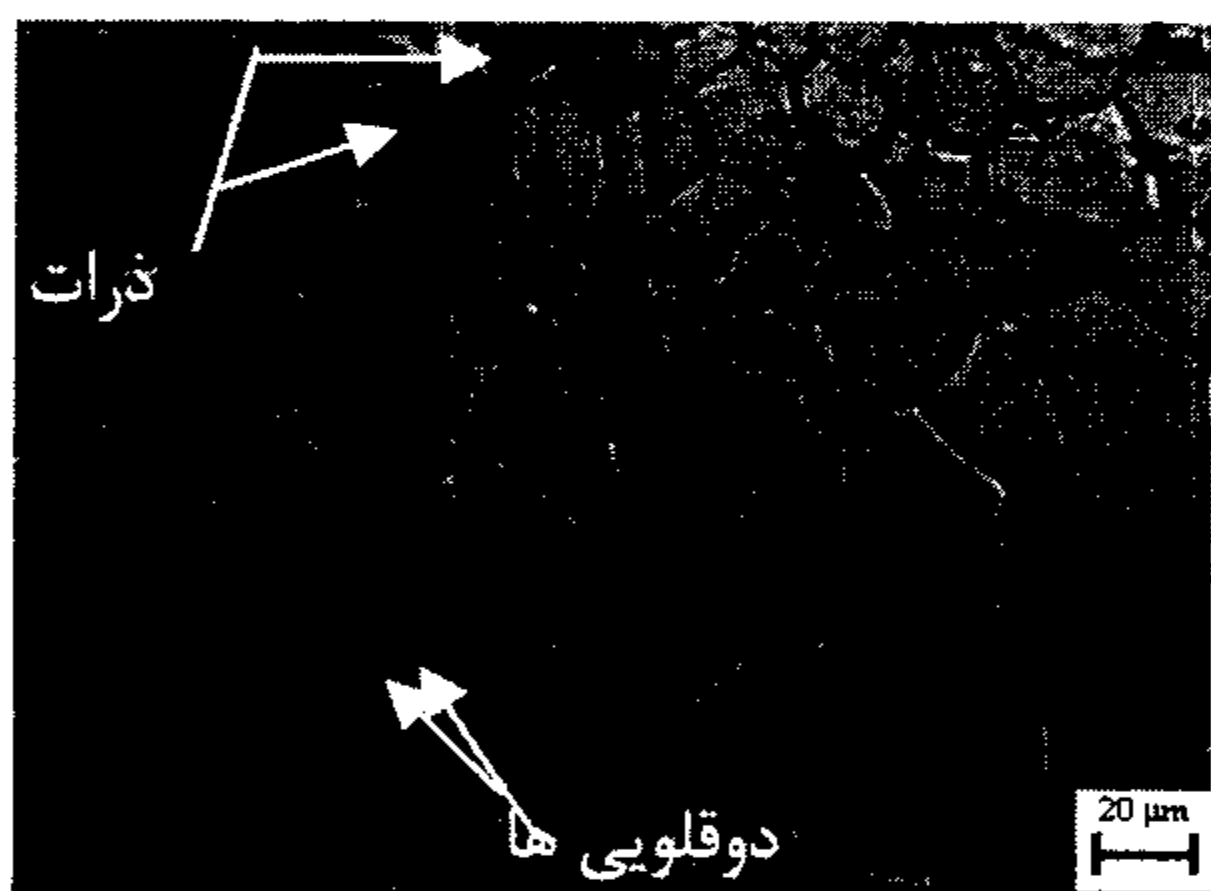
واثر نرخ کرنش بعنوان یکی از پارامترهای اصلی تغییر شکل گرم، بررسی و تجزیه و تحلیل شده است.



شکل ۱: شماتیک سیکل حرارتی-مکانیکی اعمال شده.

## نتایج و بحث

ریز ساختار اولیه آلیاز AZ31 در شکل (۲) نشان داده شده است. همانگونه که مشاهده میشود این ریز ساختار شامل دانه های هم محور محصول تبلور مجدد آلیاز در انتهای نورد گرم میباشد. بعلاوه دوقلویی های تشکیل شده و ذرات  $Mg_{17}Al_{12}$  (با توجه به نمودار فازی Mg-Al) رسوب داده شده روی بعضی از مرزها نیز قابل تشخیص میباشند. اندازه متوسط دانه های اولیه ۲۲ میکرومتر اندازه گیری شده است.



شکل ۲: ریز ساختار اولیه آلیاز AZ31 مورد بررسی.

## بررسی منحنی های سیلان

نمودارهای تنش حقیقی - کرنش حقیقی بدست آمده از آزمایشهای فشار گرم در شکل (۳) نشان داده شده اند. در تمام نمودارها بعد از منطقه تغییر شکل الاستیک یک ناحیه کار سختی مشاهده می شود. در حین تغییر شکل پلاستیک ساختارهای HCP، بدلیل سیستمهای لغزش محدود، دوقلویی های مکانیکی در دانه هایی که دارای جهت گیری مناسب هستند، تشکیل می شوند. کار سختی ایجاد شده با فرایندهای لغزش و دو قلویی شدن،

## روش تحقیق

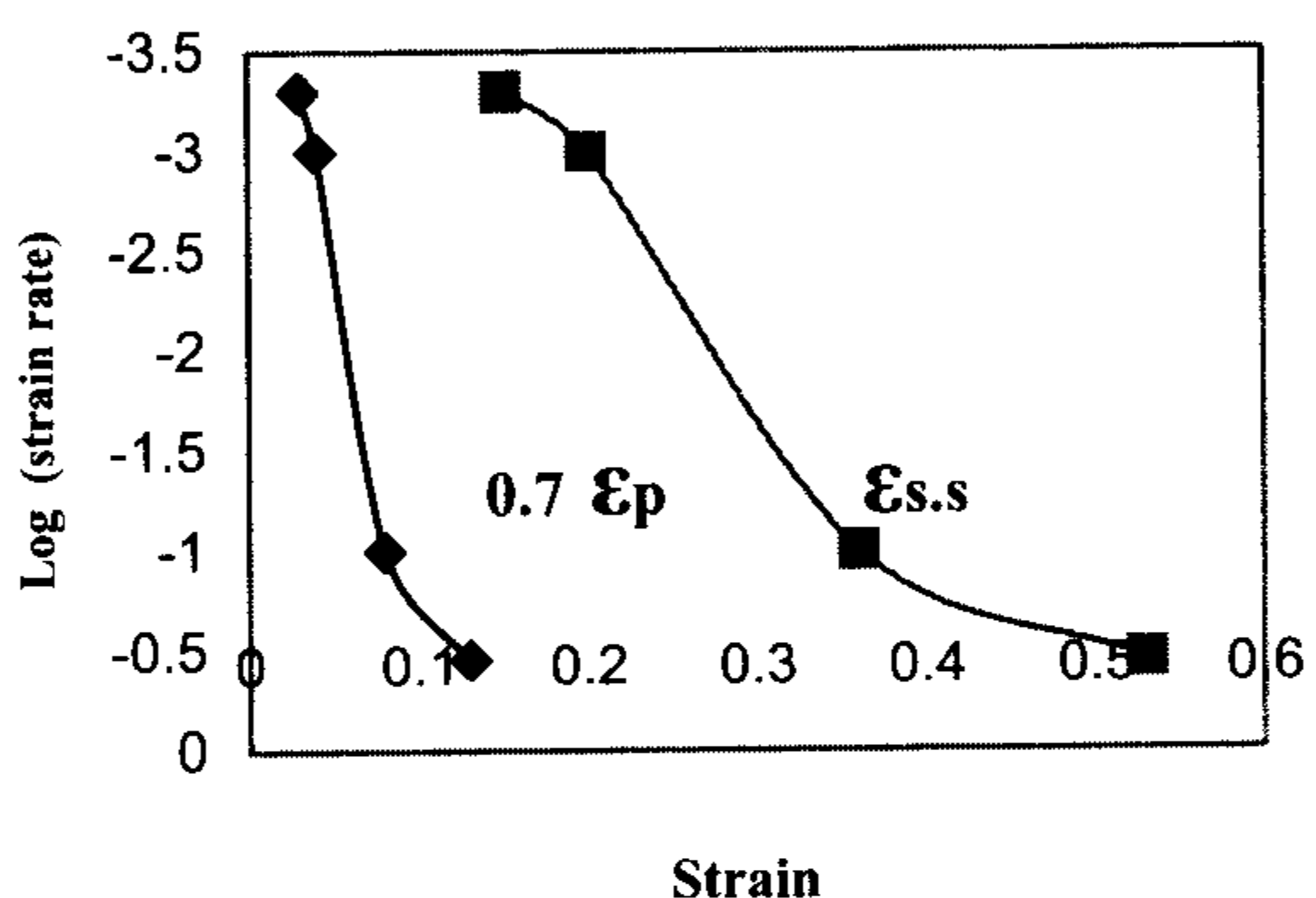
ترکیب شیمیایی آلیاز انتخاب شده در این تحقیق (Mg-3%Al-1%Zn-0.3%Mn) می باشد که بر اساس استاندارد ASTM در کلاس AZ31 قرار میگیرد (جدول ۱). ماده اولیه مورد استفاده بصورت ورق نورد گرم با ضخامت اولیه ۲۲ میلی متردر دسترس قرار گرفت، که نمونه های استوانه ای برای آزمایش فشار با قطر ۸ میلی متر و ارتفاع ۱۲ میلی متر از آن تهیه شدند. نمونه های آزمایش فشار بگونه ای تهیه شدند که محور فشار همراستا با جهت نورد قرار گیرد. همانطور که تحقیقات قبل نشان داده اند وجود جهت های مرجع (بافت) در آلیاژهای منیزیم نقش مؤثری در تعیین رفتار تغییر شکل آنها ایفا می کند [۴]. بافت غالب در ورقهای نورد گرم شده عمدها بصورت صفحات قاعده ای هگزاگونال موازی با جهت نورد میباشد [۵]. لذا با توجه به جهت تهیه نمونه ها، آزمایش فشار بصورت موازی با صفحات قاعده اعمال می شود.

جدول ۱: ترکیب شیمیایی آلیاز مورد استفاده.

AZ31	Mg	Al	Zn	Mn	Cu
wt%	≈۹۵/۵	۲/۹۸	۰/۸۱	۰/۳۵	۰/۰۲

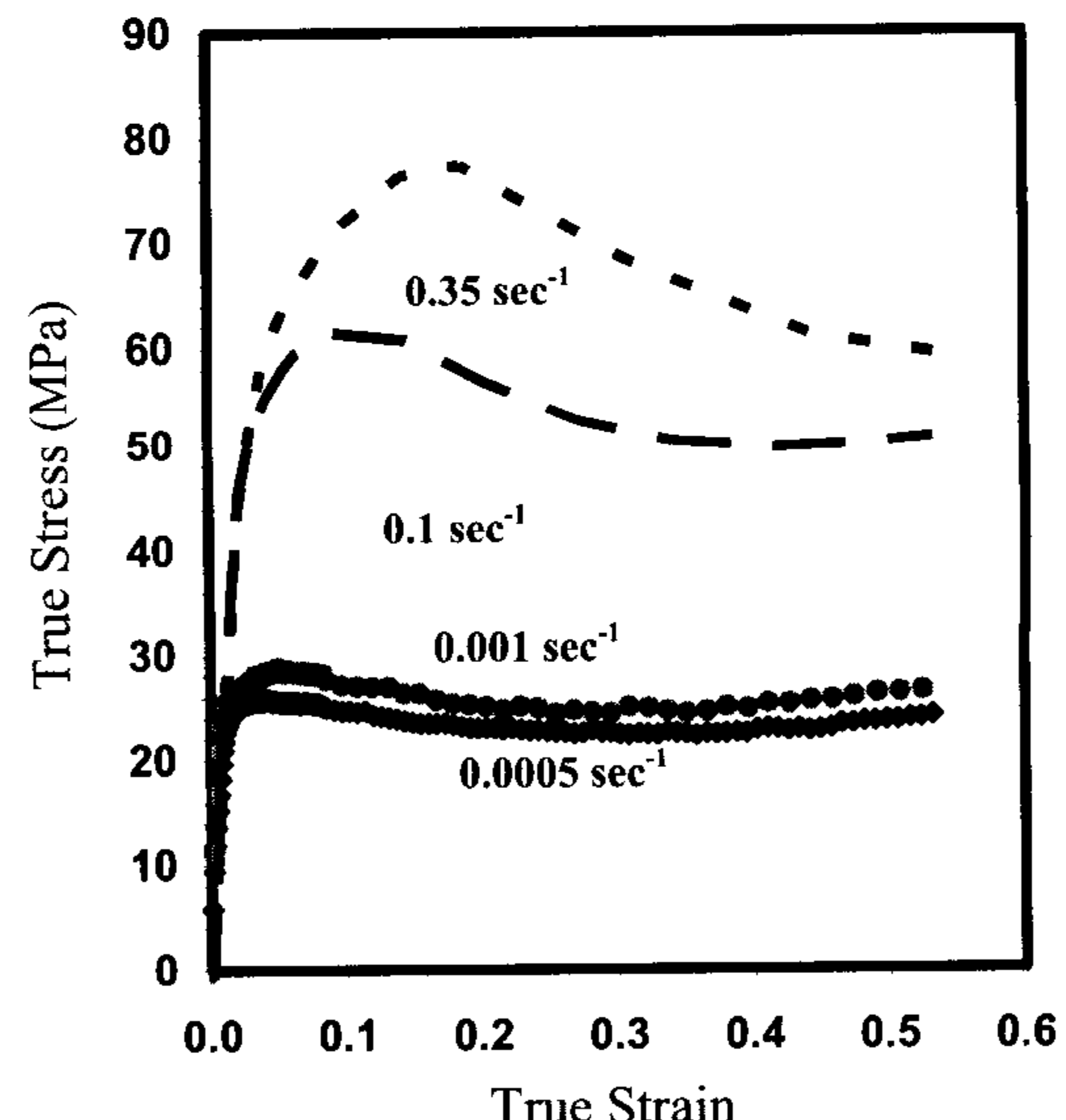
برای انجام آزمایش در دمای بالا، کوره مقاومتی بهمراه وسایل جانبی مورد نیاز، بر روی دستگاه Instron نصب گردید. به منظور بررسی اثر نرخ کرنش بر رفتار سیلان گرم آلیاز AZ31، آزمایشهای فشار در دمای ثابت  $۳۵۰^{\circ}\text{C}$  و در نرخ کرنشهای  $۰/۰۰۰۵\text{s}^{-1}$ ،  $۰/۰۰۱$ ،  $۰/۰۰۰۱$  و  $۰/۰۳۵$  انجام شدند. برای یکسان سازی دما، هر نمونه قبل از انجام آزمایش بمدت ۵ دقیقه در دمای مذکور نگه داشته شد و سپس آزمایش فشار روی نمونه ها تا کرنش حقیقی حدود  $۰/۶$  اعمال گردید. شکل (۱) بصورت شماتیک سیکل حرارتی-مکانیکی انجام شده را نشان میدهد. نمونه ها در خاتمه آزمایش با فاصله زمانی حداقل ۲ ثانیه در آب کوئنچ شدند. برای بررسی های ساختاری، نمونه ها تحت پولیش مکانیکی و پولیش شیمیایی در محلول  $۱۰\text{ ml}$  اسید نیتریک،  $۹۰\text{ ml}$  اتانول قرار گرفته و سپس با محلول استیک پیکرال جهت مشاهدات

نمودار) یا بعبارت دیگر کرنش لازم تا رسیدن به تنفس حالت پایدار افزایش می یابد. شکل ۴ تاثیر نرخ کرنش را بر کرنش در نقطه بیشینه تنفس و کرنش لازم جهت رسیدن به حالت پایدار تنفس نشان می دهد. با توجه به محدود بودن سیستمهای لغزش در ساختار HCP منیزیم، افزایش نرخ کرنش سینتیک دوقلویی شدن را افزایش میدهد [۲]. با تشدید دوقلویی شدن انرژی ذخیره شده در ماده تحت کرنش افزایش خواهد یافت. لذا با توجه به کاهش زمان تغییر شکل (برای یک کرنش معین) در نرخ کرنشهای بالاتر، کرنش بالاتری برای ترمیم ساختار و کاهش تنفس به حد تنفس حالت پایدار مورد نیاز است.



شکل ۴: تغییرات کرنش بیشینه و کرنش حالت پایدار با نرخ کرنش.

تا نقطه بیشینه منحنی، تنفس سیلان را افزایش میدهدند. با ادامه تغییر شکل، ماده رفتار کار نرمی از خود نشان می دهد. رفتار مشاهده شده در تنفس حقیقی - کرنش حقیقی به وقوع پدیده تبلور مجدد دینامیکی نسبت داده شده است [۳]. در این حالت، جوانه زنی و رشد دانه های جدید در نواحی پر انرژی با مصرف انرژی کرنشی ذخیره شده در ساختار (شامل انرژی دو قلویی ها)، باعث نرم شدن آلیاژ در حین اعمال تنفس و افت تنفس مورد نیاز برای ادامه تغییر شکل می شود. همانطور که در این شکل مشاهده می شود مطابق رفتار عمومی کار گرم سایر فلزات [۶] با افزایش نرخ کرنش مورد نیاز برای رسیدن به حداکثر تنفس افزایش می یابد. از آنجاییکه تبلور مجدد دینامیکی از جمله پدیده های فعال شونده توسط حرارت <sup>۲</sup> بوده و اساسا با حرکت مرزهای بزرگ زاویه کنترل می شود، با توجه به مهیا بودن زمان بیشتر در نرخ کرنشهای پایین، تبلور مجدد دینامیکی <sup>۳</sup> (DRX) می تواند در کرنشهای پایین تری بر کار سختی ایجاد شده در ساختار غلبه کرده و باعث ایجاد پیک در نمودار سیلان ماده شود. پایینتر بودن سطح تنفس در نرخ کرنش های پایینتر به گستردگی بیشتر پدیده بازیابی دینامیکی در حین اعمال کرنش نسبت داده میشود.



شکل ۳: منحنی های تنفس حقیقی - کرنش حقیقی در دمای ۳۵۰ درجه سانتیگراد.

### تغییرات نرخ کار سختی

جهت بررسی دقیق تر اثر نرخ کرنش بر رفتار تغییر کرنش در شکل ۵ ترسیم گردیده است. همانگونه که دیده میشود با افزایش نرخ کرنش، بویژه در نرخ کرنش  $s^{-1} \cdot ۰/۳۵$ ، نرخ افت  $\theta$  کاهش یافته است. این رفتار را میتوان به افزایش نرخ دوقلویی شدن نسبت داد. دوقلویی شدن با ایجاد تغییر در جهت گیری کریستالی، میتواند سیستمهای لغزش جدیدی را برای لغزش نابجایی ها فراهم نموده، باعث کاهش نرخ تغییر در کار سخت شدن ماده (شیب نمودار  $\theta$  در شکل ۴) گردد.

در نرخ کرنش های مورد بررسی در این تحقیق با افزایش نرخ تغییر شکل، شیب منحنی کاهش پیدا کرده است، اما در نتایج بدست آمده توسط Barnett از نرخ کرنش های بیشتر از  $s^{-1} \cdot ۰/۳۵$  شیب تغییرات  $\theta$ ، به صفر و حتی مقادیر منفی رسیده است [۲]. وی نشان داد که در نرخ

نکته قابل توجه دیگری که باید متذکر شد اینست که با افزایش نرخ کرنش، گستردگی پیک ایجاد شده در

کاهش یافته است.

با توجه به کاهش اندازه نهایی دانه ها در نرخ کرنش های بالاتر، تنش حالت پایدار ( $\sigma_{S.S}$ ) افزایش می یابد. تغییرات  $\sigma_{S.S}$  با نرخ کرنش در شکل (۷) نشان داده شده است. با توجه به رابطه بنیادی تغییر شکل گرم [۶] می توان نرخ کرنش و تنش حالت پایدار را به یکدیگر مرتبط ساخت:

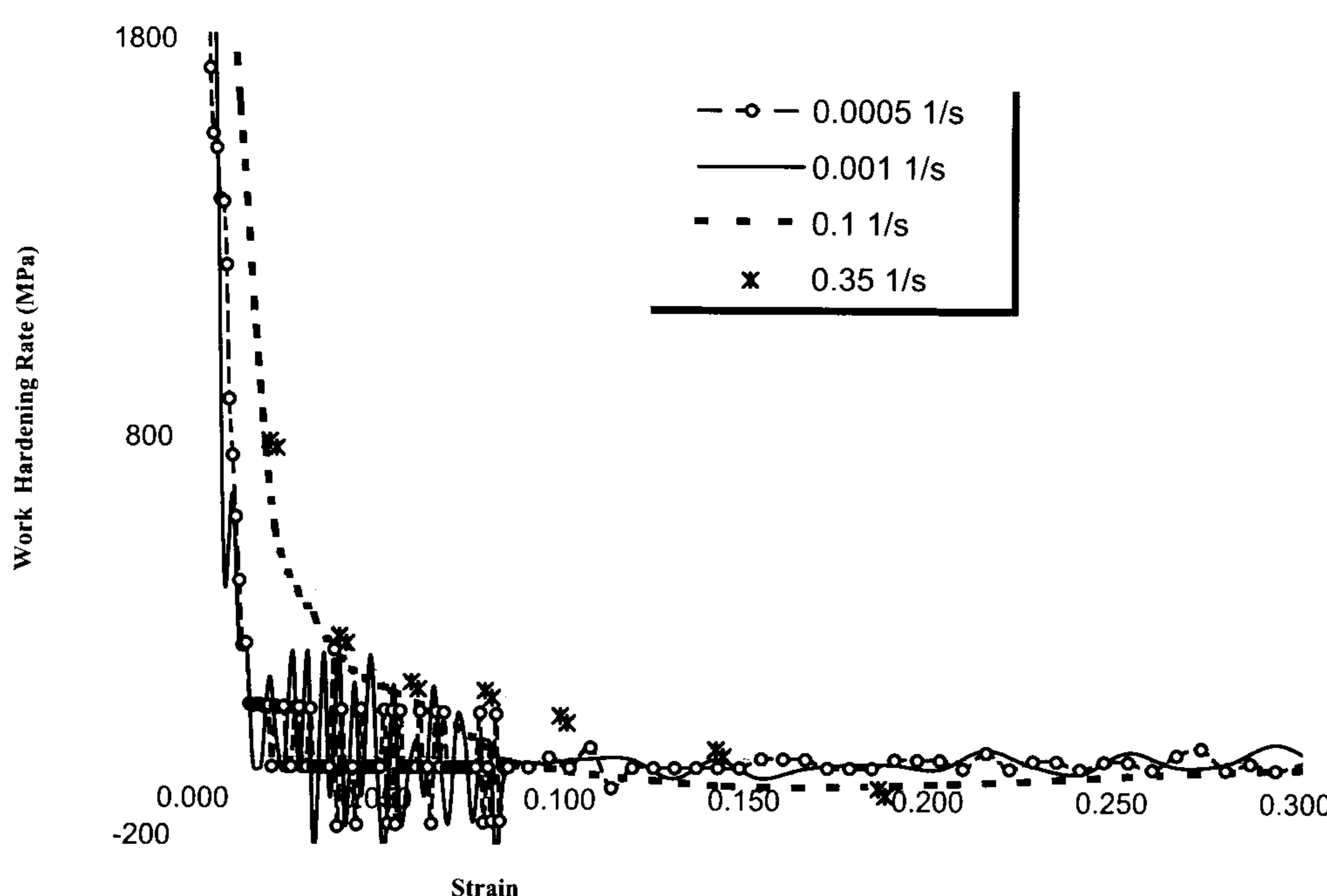
$$\dot{\varepsilon} = C_1 \sigma^n \exp(-Q/RT) \rightarrow L n \dot{\varepsilon} = \ln C_1 + n \ln \sigma - Q/RT \quad (1)$$

که در آن  $\dot{\varepsilon}$  نرخ کرنش،  $\sigma$  تنش در حالت پایدار،  $Q$  انرژی اکتیواسیون موثر،  $T$  دمای مطلق،  $R$  ثابت جهانی گازها و  $n, C_1$  ثابت ماده می باشند. مقدار توان  $n$  در رابطه فوق بر اساس نتایج بدست آمده در این تحقیق، با رسم تغییرات نرخ کرنش برحسب تنش حالت پایدار در منحنی لگاریتمی (شکل ۷)، حدود ۶/۵ بدست می آید که با مقدار بدست آمده توسط Barnett برای همین آلیاژ [۲] در تطابق کامل می باشد. بدینوسیله می توان با محاسبه ثابت رابطه فوق، تنش سیلان را در نرخ کرنش های مختلف تخمین زد.

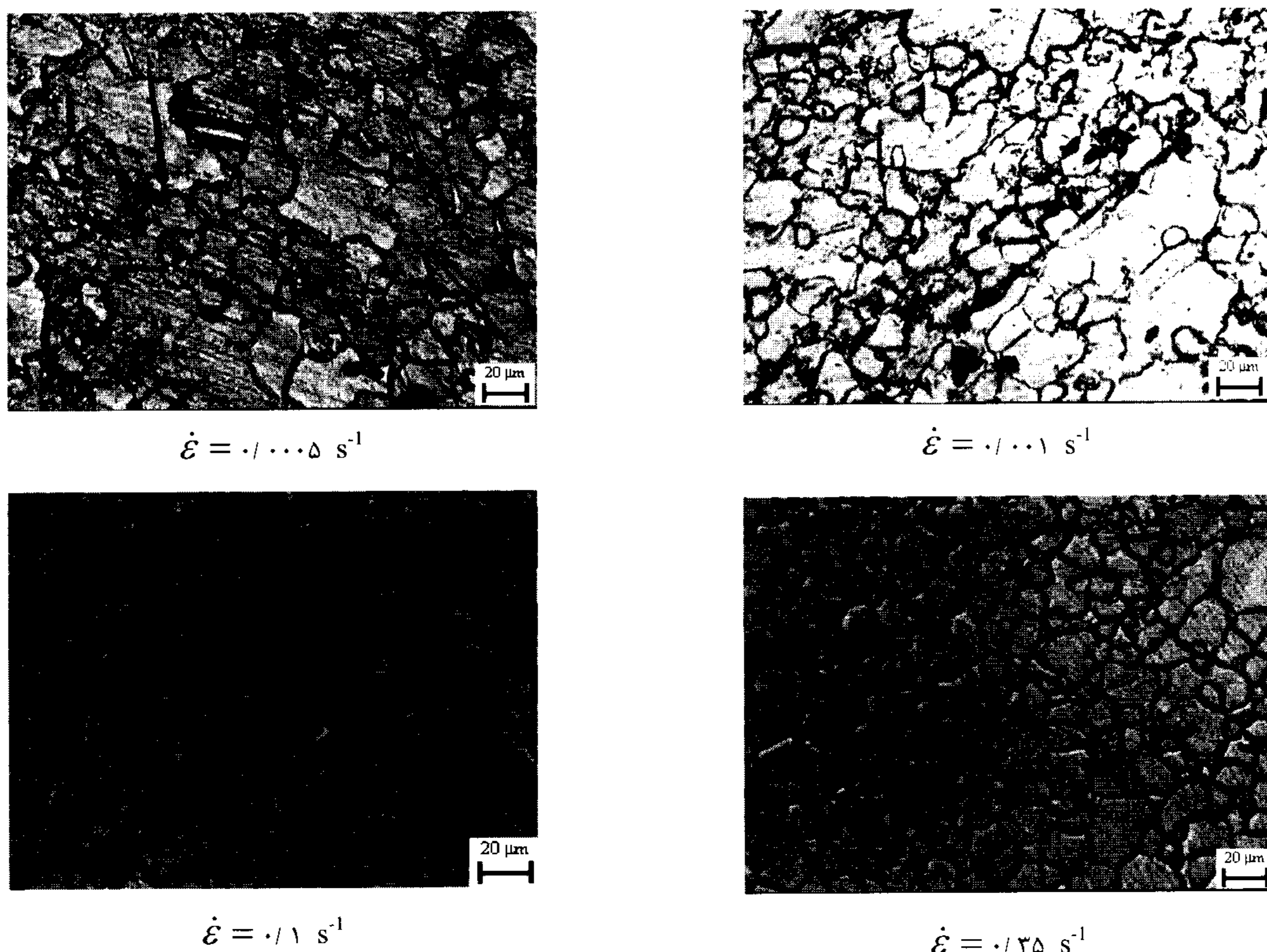
کرنش  $s^{-1}$  منحنی  $\theta$ ، در قسمتی از آن با افزایش کرنش، دارای روندی صعودی می باشد..

### تغییرات ریز ساختاری

همانطور که بیان شد با افزایش نرخ کرنش، نرخ ذخیره شدن انرژی در ساختار و وقوع دوقلویی شدن بالاتر رفته، پتانسیل بیشتری برای پدیده DRX فراهم میشود، هر چند که وقوع گستردگی DRX در کرنش های بالاتر رخ میدهد. مرزهای نا همدوس<sup>۴</sup> دوقلویی ها، تقاطع دوقلویی های مکانیکی با یکدیگر و تقاطع مرز دوقلویی ها با مرزهای دانه ها منجر به افزایش مراکز مرتع جوانه زنی و تشدید پدیده DRX می شوند. بنابراین با توجه به مراکز جوانه زنی بیشتر در نرخ کرنشهای بالاتر، متوسط اندازه دانه های نهایی کاهش خواهد یافت. تصاویر ریز ساختاری ارائه شده در شکل (۶) نیز مؤید این مطلب می باشند. در این شکل ریز ساختار نهایی کوئنچ شده برای نرخ کرنش های متفاوت نشان داده شده است. با افزایش نرخ کرنش، متوسط اندازه دانه ها بصورت ۲۷، ۲۱، ۱۷، ۱۲٪ نسبت به اندازه اولیه میکرومتر تغییر کرده است، یعنی متوسط اندازه دانه بترتیب ۰.۱۶٪، ۰.۳۵٪، ۰.۴۷٪، ۰.۶۳٪ نسبت به اندازه اولیه



شکل ۵: تغییرات نرخ کار سختی بر حسب کرنش در نرخ کرنش های مختلف.



شکل ۶: ریز ساختار نهایی کوئنچ شده، برای نرخ کرنش های متفاوت.

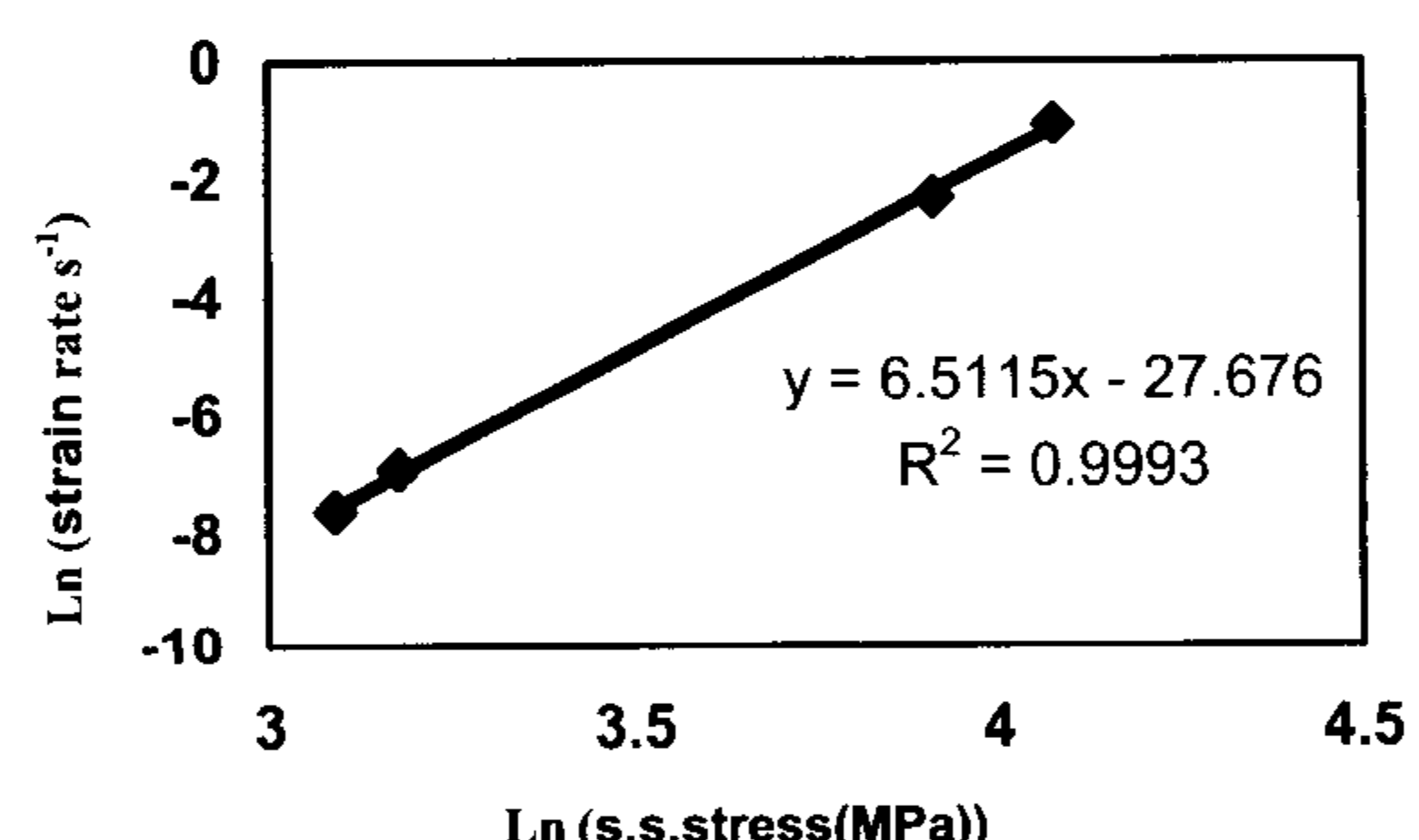
مقدار  $1/17$  در نرخ کرنش  $s^{-1}$ ،  $0/0005$  به  $1/34$  در نرخ کرنش  $s^{-1}$  افزایش یافته است، یعنی پارامتر کارنرمی  $14/5$ ٪ افزایش پیدا کرده است.

نسبت های بدست آمده نشان می دهند که تبلور مجدد دینامیکی با افزایش نرخ کرنش می تواند اثر بیشتری در کاهش نسبی تنش مورد نیاز برای تغییر شکل داشته باشد.

جدول ۲: نسبت تنش بیشینه به تنش حالت پایدار  $(\frac{\sigma_p}{\sigma_{s.s}})$  برای نرخ کرنشهای مختلف.

$\dot{\epsilon}, s^{-1}$	$0/0005$	$0/001$	$0/1$	$0/35$
$(\frac{\sigma_p}{\sigma_{s.s}})$	$1/17$	$1/22$	$1/26$	$1/34$

کارنرمی بیشتر در نرخ کرنش های بالاتر، میتواند متأثر از چند عامل باشد. نخست آنکه نرخ کرنش بالاتر باعث نرخ کارسختی بالاتر و در نتیجه انرژی ذخیره شده بالاتری در ماده میگردد و بنابراین در این حالت DRX نیرو محركه بالاتری داشته و انرژی بیشتری را آزاد می کند. ضمن آنکه

شکل ۷: تغییرات  $\sigma_{s.s}$  با نرخ کرنش در دمای ۳۵۰ درجه سانتیگراد.

بررسی کار نرمی حاصل از فرایند DRX جهت مقایسه اثر کار نرمی حاصل از فرایند DRX در رفتار تغییر شکل گرم آلیاژ منیزیم AZ31، نسبت تنش بیشینه به تنش حالت پایدار  $(\frac{\sigma_p}{\sigma_{s.s}})$  برای نرخ کرنشهای مختلف، محاسبه و در جدول ۲ داده شده است.

نسبت  $(\frac{\sigma_p}{\sigma_{s.s}})$  را پارامتر کارنرمی می نامند، این نسبت از

### نتیجه گیری

- ۱- با کاهش نرخ کرنش، زمان بیشتری برای وقوع DRX در حین تغییر شکل وجود دارد و لذا بیشینه ایجاد شده روی منحنی تنش-کرنش در کرنشهای کمتری رخ میدهد و با توجه به کرنش سختی کمتر، تنش حالت پایدار در کرنش کمتری مشاهده می شود.
- ۲- با توجه به دوقلویی شدن بیشتر در نرخ کرنش بالاتر مکانهای جوانه زنی DRX افزایش یافته و لذا متوسط اندازه دانه نهایی کوچکتر خواهد بود و ماده تنش پایدار بالاتری از خود نشان میدهد.
- ۳- توان معادلات توانی تغییرات تنش حالت پایدار و نرخ کرنش  $n$  در تغییر شکل آلیاژ AZ31، حدود  $6/5$  میباشد.
- ۴- با توجه به نسبت های  $\frac{\sigma_p}{\sigma_{s.s}}$  بدست آمده، DRX در  $\dot{\epsilon}$  بالاتر نقش بیشتری در کارنرمی و کاهش تنش سیلان این آلیاژ ایفا می کند.

همانطور که ذکر شد مراکز جوانه زنی بیشتری نیز برای DRX فراهم میشود. بنابراین افت تنش بیشتری در نمودار سیلان ماده مشاهده می شود. از طرفی  $\dot{\epsilon}$  بالاتر به حرکت نابجایی ها بسمت مرز دانه های جدید کمک کرده و لذا ترمیم ساختار بهتر انجام میشود. ضمن اینکه مرز دانه ها در آلیاژهای منیزیم بدلیل ایجاد مسیری با ضریب نفوذ بالا، میتوانند در نرخ کرنش های بالاتر تأثیر بیشتری در جذب و اضمحلال نابجایی ها داشته باشند. عامل دیگری که در نرخ کرنشهای بالاتر در کارنرمی ماده نقش دارد، ایجاد گرمای آدیباتیک میباشد که در این شرایط دمای واقعی ماده از دمای آزمایش بالاتر رفته و سرعت DRX را افزایش می دهد. بعلاوه در این حالت بازیابی دینامیکی ترغیب شده، می تواند چگالی نابجایی ها را کاهش داده و به کارنرمی ماده کمک کند [۷]. میزان کارنرمی ایجاد شده در نرخ کرنشهای مختلف با توجه به شکل (۴) نیز قابل مقایسه است. همانطور که مشاهده میشود، در نرخ کرنشهای بالاتر بخصوص در  $0.35 \text{ s}^{-1}$  به مقادیر کوچکتر و منفی رسیده است که حاکی از کار نرمی بیشتر ماده میباشد.

### مراجع

- 1 - Moordike, B. L. and Elbert, T. (2001). "Magnesium, properties-application-potential." *Mater. Sci. Eng.*, A302, PP.37.
- 2 - Myshlyeav, M. M., McQueen, H. J., Mwembela, A. and konopleva, E. (2002). "Twinning,dynamic recovery and recrystallization in hot worked Mg-Al-Zn alloy." *Mater. Sci. Eng.*, A337, PP.121.
- 3 - Barnett, M. R. (2001). "Influence of deformation condition and texture on the high temperature flow stressof magnesium AZ31." *J. Light Metals*, PP.67.
- 4 - Brooks, C. R. (1982). "Heat treatment, structure, and properties of non-ferrous alloys." *ASM*, U.S.A.
- 5 - Chang, T. C., Wang, J. Y., O, C. M. and Lee, S. (2003). "Grain refining of magnesium alloy AZ31 by rolling." *J. Mater. Process. Technol.*, Issues 1-3, PP.588.
- 6 - Humpherys, F. J. and Hatherley, M. (1996). *In recrystallization and related phenomena*. Pergamon Press,oxford.
- 7 - Mwembela, A., Konopleva, E. B. and Mcqueen, H. J. (1997). "Microstructural development in Mg alloy AZ31 During hot working." *Scripta Mater*, Vol. 37, PP.1789.

### واژه های انگلیسی بترتیب استفاده در متن

1 - Substructural

3 - Dynamic Recrystallization

2 - Thermally Activated Processes

4 - Incohernt